



การกำหนดขนาดและตำแหน่งของขั้วเคเบิ้ลเตอร์ที่เหมาะสมที่สุดในทางปฏิบัติ  
เพื่อลดความสูญเสียบนสายป้อนของระบบจำหน่ายไฟฟ้า

นายปารเมศ ชูติมา

วิทยานิพนธ์นี้เป็นส่วนหนึ่งของการศึกษาตามหลักสูตรปริญญาวิศวกรรมศาสตรมหาบัณฑิต

ภาควิชาวิศวกรรมไฟฟ้า

บัณฑิตวิทยาลัย จุฬาลงกรณ์มหาวิทยาลัย

พ.ศ. 2534

ISBN 974-578-314-5

ลิขสิทธิ์ของบัณฑิตวิทยาลัย จุฬาลงกรณ์มหาวิทยาลัย

017840

1173135 51

PRACTICAL REALIZATION OF OPTIMUM SIZE AND LOCATION OF SHUNT CAPACITORS  
FOR REDUCTION OF LOSSES ON DISTRIBUTION FEEDERS

Mr.Parames Chutima

A Thesis Submitted in Partial Fulfillment of the Requirements  
for the Degree of Master of Engineering  
Department of Electrical Engineering  
Graduate School  
Chulalongkorn University

ISBN 974-578-314-5

หัวข้อวิทยานิพนธ์

การกำหนดขนาดและตำแหน่งของชั้นคเคแบชิตอร์ที่เหมาะสมที่สุดในทางปฏิบัติ เพื่อลดความสูญเสียบนสายป้อนของระบบจำหน่ายไฟฟ้า

โดย

นายปารเมศ ชติมา

ภาควิชา


วิศวกรรมไฟฟ้า

อาจารย์ที่ปรึกษา


ผู้ช่วยศาสตราจารย์ ประสิทธิ์ พิทยพัฒน์





บัณฑิตวิทยาลัย จุฬาลงกรณ์มหาวิทยาลัย อนุมัติให้บัณฑิตวิทยาลัยฉบับนี้เป็นส่วน  
หนึ่งของการศึกษาตามหลักสูตรปริญญาโทบัณฑิต


  
..... คณบดีบัณฑิตวิทยาลัย  
(ศาสตราจารย์ ดร.ถาวร วิชัยภักย์)

คณะกรรมการสอบวิทยานิพนธ์

  
..... ประธานกรรมการ  
(ศาสตราจารย์ ดร.จราย บุญยกุล)

  
..... อาจารย์ที่ปรึกษา  
(ผู้ช่วยศาสตราจารย์ ประสิทธิ์ พิทยพัฒน์)

  
..... กรรมการ  
(อาจารย์ ไชยชะ แซ่มช้อ)

  
..... กรรมการ  
(นายสแกนต์ อินทรครรชิต)

หนังสือฉบับนี้จะมีเนื้อหาแบ่งออกเป็นสองส่วนด้วยกันกล่าวคือ

ปารเมศ ชูติมา : การกำหนดขนาดและตำแหน่งของขั้วค้ำแปซิเตอร์ที่เหมาะสมที่สุดในทางปฏิบัติเพื่อลดความสูญเสียบนสายป้อนของระบบจำหน่ายไฟฟ้า (PRACTICAL REALIZATION OF OPTIMUM SIZE AND LOCATION OF SHUNT CAPACITORS FOR REDUCTION OF LOSSES ON DISTRIBUTION FEEDERS) อ.ที่ปรึกษา : ผศ.ประสิทธิ์ พิทยพันธ์, 236 หน้า. ISBN 974-578-314-5

วิชานี้จะมีเนื้อหาแบ่งออกเป็นสองส่วนด้วยกันกล่าวคือ ในส่วนแรกจะเป็นเรื่องราวเกี่ยวกับการหาขนาดและตำแหน่งติดตั้งที่เหมาะสมที่สุดของขั้วค้ำแปซิเตอร์แบบค่าคงที่บนสายป้อนแบบปฐมภูมิ เพื่อที่จะลดค่ากำลังงานสูญเสียบนสายป้อน สำหรับในส่วนหลังจะเป็นเรื่องราวเกี่ยวกับแนวทางในการควบคุมขั้วค้ำแปซิเตอร์แบบหลายระดับบนสายป้อนแบบปฐมภูมิ เพื่อที่จะทำให้ค่าความสูญเสียทั้งกำลังงานและพลังงานไฟฟ้ามีค่าลดลง ซึ่งจะทำให้ได้โดยการควบคุมการต่อเข้า/ปลดออกจากระบบของขั้วค้ำแปซิเตอร์แบบสวิตชิง ในการหาค่าคำตอบของทั้งสองส่วนที่กล่าวมาข้างต้นนั้นจะทำได้โดยการใช้กระบวนการทำซ้ำ (Iteration) และเพื่อความรวดเร็วในการวิเคราะห์ จึงได้มีการพัฒนาโปรแกรมคอมพิวเตอร์สำหรับเป็นเครื่องมือช่วยในการแก้ปัญหาทั้งสองนั้น ตลอดจนมีการตัดแปลงกระบวนการทำซ้ำเพื่อให้วิธีการนี้สามารถใช้ได้กับขั้วค้ำแปซิเตอร์ที่มีขนาดเท่ากับมาตรฐานได้ด้วย ซึ่งวิธีการนี้สามารถใช้ได้กับปัญหาที่จะเกิดขึ้นจริง อีกทั้งทำให้วิศวกรผู้ออกแบบระบบจำหน่ายไฟฟ้าสามารถนำไปใช้งานในทางปฏิบัติได้ในทันที



ภาควิชา ..... วิศวกรรมไฟฟ้า  
สาขาวิชา ..... พลังงานไฟฟ้า  
ปีการศึกษา ..... 2533


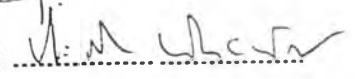
ลายมือชื่อนิสิต .....  
ลายมือชื่ออาจารย์ที่ปรึกษา .....

มหาวิทยาลัยเทคโนโลยีพระจอมเกล้าธนบุรี คณะวิศวกรรมศาสตร์ ภาควิชาวิศวกรรมไฟฟ้า

PARAMES CHUTIMA : PRACTICAL REALIZATION OF OPTIMUM SIZE AND LOCATION OF SHUNT CAPACITORS FOR REDUCTION OF LOSSES ON DISTRIBUTION FEEDERS. THESIS ADVISOR : ASSI.PROF. PRASIT PITTAYAPAT, 236 pp.

This thesis is divided into two parts. The first part is dealing with the procedure for optimally sizing and placing of fixed shunt capacitors on a primary distribution feeder. The second part is concerning with the control scheme for multilevel control of capacitors on a primary distribution feeder, which is exercised through the control of switching on/off of the switching capacitors, in order to reduce energy and power losses. The solutions of these two parts are solved by iterative procedures and two computer programs are developed for the ease of solving these problems. The iterative procedures are modified in order that standard size capacitors can be used. These procedures can be applied in practice to facilitate their immediate use by the electric utility distribution designer.

ภาควิชา ..... วิศวกรรมไฟฟ้า .....  
สาขาวิชา ..... พลังงานไฟฟ้า .....  
ปีการศึกษา ..... 2535 .....

ลายมือชื่อนิสิต .....  .....  
ลายมือชื่ออาจารย์ที่ปรึกษา .....  .....

### กิตติกรรมประกาศ

ผู้เขียนขอกราบขอบพระคุณอย่างสูงต่อ อาจารย์ประสิทธิ์ พิทยพัฒน์ ผู้เป็น  
อาจารย์ที่ปรึกษาวิทยานิพนธ์ ซึ่งท่านได้เป็นผู้ให้ความสนใจ คำแนะนำ ความเอาใจใส่  
และการสนับสนุนเป็นอย่างดี เกินกว่าที่ศิษย์ในที่ปรึกษาจะคาดหวังเอาไว้ ทำให้วิทยานิพนธ์  
ฉบับนี้สำเร็จลุล่วงไปได้ด้วยดี

นอกจากนี้ผู้เขียนยังขอขอบคุณ อาจารย์จรัส บุญอุบล ผู้ทำหน้าที่เป็นประธาน  
กรรมการในการสอบ รวมทั้ง อาจารย์ไชยยะ แซ่มช้อย และ คุณสุกานต์ อินทรครรชิต ผู้  
ทำหน้าที่เป็นกรรมการในการสอบ ซึ่งท่านทั้งหลายเป็นผู้ให้ข้อเสนอแนะที่ดีหลายประการต่อ  
วิทยานิพนธ์ฉบับนี้

ผู้เขียนขอขอบคุณ บิดา มารดา ผู้ซึ่งเป็นผู้ให้ความสนับสนุนทั้งทางด้านกำลังใจ  
และการเงิน ซึ่งทำให้ผู้เขียนสามารถบรรลุวัตถุประสงค์ในการศึกษาเป็นอย่างดี

สุดท้ายนี้ ผู้เขียนขอขอบคุณเพื่อน ๆ ทั้งหลาย โดยเฉพาะอย่างยิ่ง คุณปัทมา  
ชานาญช่าง ซึ่งเป็นผู้ช่วยในการจัดรูปเล่มของวิทยานิพนธ์ และเป็นผู้ตรวจทานคำผิด จนกระทั่ง  
วิทยานิพนธ์ฉบับนี้สำเร็จลุล่วงโดยสมบูรณ์



## สารบัญ



## หน้า

บทคัดย่อภาษาไทย .....	ง
บทคัดย่อภาษาอังกฤษ .....	จ
กิตติกรรมประกาศ .....	ฉ
สารบัญ .....	ช
สารบัญตาราง .....	ญ
สารบัญภาพ .....	ณ
คำอธิบายคำย่อและสัญลักษณ์ .....	ฐ
บทที่	
1. บทนำทั่วไป .....	1
1.1 ประวัติความเป็นมาและความสำคัญของปัญหา .....	1
1.2 วัตถุประสงค์และขอบเขตของการวิจัย .....	3
1.3 วิธีที่จะดำเนินการวิจัย .....	4
2. หลักการเบื้องต้นเกี่ยวกับคัพแบริเตอร์ .....	7
2.1 บทนำ .....	7
2.2 ค่าเพอร์มิตติวิตี .....	7
2.3 ค่าความเครียดไดอิเล็กตริก .....	8
2.4 ค่าความจุไฟฟ้า .....	9
2.5 คัพแบริเตอร์กับแหล่งจ่ายไฟฟ้ากระแสสลับ .....	10
2.6 ค่ากำลังสูญเสียไดอิเล็กตริก .....	12
2.7 ชนิดของคัพแบริเตอร์ .....	13
2.8 กำลังไฟฟ้า .....	14
2.9 ตัวประกอบกำลัง .....	15
2.10 การปรับปรุงตัวประกอบกำลัง .....	16
2.11 ประโยชน์ที่ได้รับเมื่อทำการปรับปรุงตัวประกอบกำลัง .....	18

## สารบัญ (ต่อ)

	หน้า
3. แบบจำลองของสายป้อนแบบปรวมภูมิ .....	22
3.1 บทนำ .....	22
3.2 ระบบไฟฟ้าที่ใช้ในปัจจุบัน .....	22
3.3 แบบจำลองของสายป้อนแบบปรวมภูมิ .....	24
3.4 การกระจายของกระแสรีแอกทีฟซึ่งถูกนอร์มัลไลซ์ .....	33
3.5 ลักษณะของโหลด .....	35
4. การหาขนาดและตำแหน่งติดตั้งที่เหมาะสมที่สุดสำหรับชนิดเคแปซิเตอร์แบบ ค่าคงที่ .....	40
4.1 บทนำ .....	40
4.2 ฟังก์ชันการกระจายของกระแส .....	41
4.3 ฟังก์ชันวัตถุประสงค์ .....	50
4.4 กรรณวิธีการหาค่าตอบแบบซ้ำ .....	52
4.5 การหาค่าเคแปซิเตอร์ในทางปฏิบัติ .....	59
4.6 ตัวอย่างการคำนวณ .....	59
5. การหาขนาดและตำแหน่งติดตั้งที่เหมาะสมที่สุดสำหรับชนิดเคแปซิเตอร์แบบ ผสม .....	67
5.1 บทนำ .....	67
5.2 แนวความคิดเกี่ยวกับกลยุทธ์ในการควบคุมแบบหลายระดับ .....	69
5.3 แบบจำลองของกระแสโหลดแบบรีแอกทีฟและกระแสเคแปซิเตอร์ ..	71
5.4 การควบคุมเคแปซิเตอร์แบบหลายระดับในเวลาจริง .....	73
5.5 ปัญหาการออกแบบ .....	78
5.6 วิธีการหาค่าตอบโดยการแยกการคำนวณออกเป็นส่วน ๆ .....	83
5.7 การหาค่าเคแปซิเตอร์ในทางปฏิบัติ .....	91
5.8 ตัวอย่างการคำนวณ .....	92



## สารบัญ (ต่อ)

	หน้า
6. การวิเคราะห์ผลลัพธ์ .....	99
6.1 การวิเคราะห์ผลลัพธ์ของกะแปซิเตอร์แบบค่าคงที่ .....	99
6.2 การวิเคราะห์ผลลัพธ์ของกะแปซิเตอร์แบบผสม .....	104
7. สรุปผลและข้อเสนอแนะ .....	109
เอกสารอ้างอิง .....	111
ภาคผนวก ก โพรแกรมคำนวณสำหรับกะแปซิเตอร์แบบค่าคงที่ .....	115
ภาคผนวก ข โพรแกรมคำนวณสำหรับกะแปซิเตอร์แบบผสม .....	143
ภาคผนวก ค วิธีการใช้โพรแกรมสำหรับกะแปซิเตอร์แบบค่าคงที่ .....	166
ภาคผนวก ง วิธีการใช้โพรแกรมสำหรับกะแปซิเตอร์แบบผสม .....	173
ภาคผนวก จ ระบบไฟฟ้า 13 kV ที่มีจำนวนบัส 12 บัส ติดตั้งกะแปซิ เตอร์แบบค่าคงที่เพียงอย่างเดียว .....	178
ภาคผนวก ฉ ระบบไฟฟ้า 12.5 kV ที่มีจำนวนบัส 14 บัส ติดตั้งกะแปซิ เตอร์แบบค่าคงที่เพียงอย่างเดียว .....	187
ภาคผนวก ช ระบบไฟฟ้า 13 kV ที่มีจำนวนบัส 12 บัส ติดตั้งกะแปซิ เตอร์แบบผสม .....	196
ภาคผนวก ซ ระบบไฟฟ้า 12.5 kV ที่มีจำนวนบัส 14 บัส ติดตั้งกะแปซิ เตอร์แบบผสม .....	204
ภาคผนวก ฉ การเปรียบเทียบค่าฟังก์ชันวัตถุประสงค์สำหรับกะแปซิเตอร์ แบบค่าคงที่ซึ่งใช้กับระบบ 9 บัส 23 kV .....	215
ภาคผนวก ญ การเปรียบเทียบค่าฟังก์ชันวัตถุประสงค์สำหรับกะแปซิเตอร์ แบบผสมซึ่งใช้กับระบบ 9 บัส 23 kV.....	222
ประวัติผู้เขียน .....	236

## สารบัญตาราง

	หน้า
ตารางที่	
3-1 ข้อมูลตัวอย่างของสายป้อนแบบปฐมภูมิ .....	26
3-2 รีแอกตีฟโพลดที่ปลายสายป้อนในแต่ละส่วน .....	27
4-1 ข้อมูลของสายป้อน .....	60
4-2 โพลดที่บัสต่าง ๆ .....	61
4-3 ค่าคำตอบของโพลดโพลว์ .....	62
4-4 ผลลัพธ์ของกระบวนการทำซ้ำเมื่อ $K_c = 0$ .....	65
4-5 ผลลัพธ์ของกระบวนการทำซ้ำเมื่อ $K_c = 4.9$ .....	66
5-1 ผลลัพธ์ของกระบวนการทำซ้ำเมื่อ $K_c = 0$ .....	97
5-2 ผลลัพธ์ของกระบวนการทำซ้ำเมื่อ $K_{cf} = 3.5, K_{cs} = 6$ .....	98
6-1 ผลลัพธ์ของโพลดโพลว์ก่อนติดตั้งคะแพซิเตอร์ .....	102
6-2 ผลลัพธ์ของโพลดโพลว์หลังติดตั้งคะแพซิเตอร์ .....	102
6-3 ผลลัพธ์ของไลน์โพลว์ก่อนติดตั้งคะแพซิเตอร์ .....	102
6-4 ผลลัพธ์ของไลน์โพลว์หลังติดตั้งคะแพซิเตอร์ .....	102
6-5 ผลลัพธ์ของโพลดโพลว์ก่อนติดตั้งคะแพซิเตอร์ .....	107
6-6 ผลลัพธ์ของโพลดโพลว์หลังติดตั้งคะแพซิเตอร์ .....	107
6-7 ผลลัพธ์ของไลน์โพลว์ก่อนติดตั้งคะแพซิเตอร์ .....	107
6-8 ผลลัพธ์ของไลน์โพลว์หลังติดตั้งคะแพซิเตอร์ .....	107

## สารบัญรูปภาพ

รูปที่	หน้า
2-1	10
2-2	11
2-3	12
2-4	14
2-5	16
2-6	17
3-1	23
3-2	25
3-3	32
3-4	32
3-5	32
3-6	34
3-7	36
3-8	36
3-9	38
4-1	41
4-2	43
4-3	46
4-4	50
4-5	53
4-6	54
4-7	63

## สารบัญรูปภาพ (ต่อ)

รูปที่	หน้า
5-1 Daily Reactive Load Profile กับเวลาในการสับเข้า/ปลดออก จากระบบ .....	70
5-2 ฟังก์ชัน Normalized Reactive Current, $F(x)$ .....	72
5-3 ตำแหน่งติดตั้งและกระแสของคัปเปอเรเตอร์แต่ละตัว .....	73
5-4 ลำดับการต่อเข้า/ปลดออกของคัปเปอเรเตอร์ทั้ง 5 ตัว .....	74
5-5 Reactive Load Duration Curve .....	79
5-6 กรรมาธิหาค่าตอบแบบทำซ้ำโดยการแยกการคำนวณออกเป็นส่วน ๆ .....	85
6-1 การเปรียบเทียบระดับแรงดันก่อนและหลังติดตั้งคัปเปอเรเตอร์แบบค่าคงที่ ..	103
6-2 การเปรียบเทียบระดับแรงดันก่อนและหลังติดตั้งคัปเปอเรเตอร์แบบผสม .....	108

## คำย่อและสัญลักษณ์

- $x$ : ระยะทางวัดจากสถานีจ่ายไฟฟ้าย่อยบนสายป้อนแบบ Normalized Equivalent Uniform Feeder
- $I_s(t)$ : กระแสไหลดแบบรีแอกทีฟที่ถูกจ่ายให้แก่สายป้อนที่สถานีจ่ายไฟฟ้าย่อย
- $I(x)$ : ฟังก์ชันความหนาแน่นของกระแสไหลดแบบรีแอกทีฟ
- $I_s$ : ค่ายอดของกระแสรีแอกทีฟไหลดที่ถูกจ่ายให้แก่สายป้อนที่สถานีจ่ายไฟฟ้าย่อย
- $t_{j,i}^e, (t_{j,i}^f)$ : เวลาที่คะแพซิเตอร์ชนิด  $j$  ถูกต่อเข้า/ปลดออกจากระบบ
- $F(x)$ : ฟังก์ชันการกระจายของกระแสรีแอกทีฟไหลดแบบนอร์มัลไลซ์
- $I_{ci}$ : กระแสรีแอกทีฟในค่าต่อหน่วย (พิกัดแบบกิโลวาร์) ของคะแพซิเตอร์ตัวที่  $i$
- $h_i$ : ตำแหน่งติดตั้งของคะแพซิเตอร์ตัวที่  $i$
- $A(j)$ : เซ็ตของคะแพซิเตอร์ชนิด  $j$
- $AB(j)$ : เซ็ตของคะแพซิเตอร์ชนิด  $j, j-1, \dots, 1, 0$
- $LP$ : ค่ายอดกำลังสูญเสียที่ลดลง
- $LP$ : ค่าพลังงานสูญเสียที่ลดลง
- $S$ : ความประหัตสุทธิที่เกิดจากทั้งจากการลดลงของค่ายอดกำลังสูญเสียและค่าพลังงานสูญเสีย
- $K_p$ : ราคาต่อปีต่อหน่วยของกำลังสูญเสียในหน่วย  $\$/kW/yr$

$K_e$ : ราคาต่อหน่วยของค่าการลดลงของพลังงานในหน่วย  $\text{₹/kWh}$

$K_{cf} (K_{cs})$ : ราคาต่อหน่วยของกะแปซิเตอร์แบบค่าคงที่ (แบบสวิตชิง) ที่ติดตั้ง ในหน่วย  $\text{₹/kVar}$  สามเฟส

$a_i$ : ชนิดของกะแปซิเตอร์ตัวที่  $i$

$T_j$ : ช่วงเวลาการบริการของกะแปซิเตอร์ชนิด  $j$

$L_{fj}$ : ค่ารีแอกตีฟโหลดแพกเตอร์ในช่วงเวลา  $T_j$

$r$ : ค่าความต้านทานในหน่วยโอห์มต่อหนึ่งหน่วยความยาวของสายบ่อนแบบสมมุติ